

Antysymetria

Bajtazar studiuje różne napisy złożone z zer i jedynek. Niech x będzie takim napisem, przez x^R będziemy oznaczać odwrócony (czyli „czytany wspak”) napis x , a przez \bar{x} będziemy oznaczać napis powstały z x przez zamianę wszystkich zer na jedynek, a jedynek na zera.

Bajtazara interesuje **antysymetria**, natomiast niezbyt lubi wszystko co symetryczne. Antysymetria nie jest tylko prostym zaprzeczeniem symetrii. Powiemy, że (niepusty) napis x jest **antysymetryczny**, jeżeli dla każdej pozycji i w x , i -ty znak od końca jest różny od i -tego znaku, licząc od początku. W szczególności, niepusty napis x złożony z zer i jedynek jest antysymetryczny wtedy i tylko wtedy, gdy $x = \bar{x}^R$. Na przykład, napisy 00001111 i 010101 są antysymetryczne, natomiast 1001 nie jest.

W zadanym napisie złożonym z zer i jedynek chcielibyśmy wyznaczyć liczbę jego spójnych (tj. jednokawałkowych) niepustych fragmentów, które są antysymetryczne. Jeżeli różne fragmenty odpowiadają takim samym słowom, to i tak należy je policzyć wielokrotnie.

Wejście

Pierwszy wiersz standardowego wejścia zawiera liczbę n ($1 \leq n \leq 500\,000$), oznaczającą długość napisu. Drugi wiersz zawiera napis złożony z liter 0 i/lub 1 o długości n . Napis ten nie zawiera żadnych odstępów.

Wyjście

Pierwszy i jedyny wiersz standardowego wyjścia powinien zawierać jedną liczbę całkowitą, oznaczającą liczbę spójnych fragmentów wczytanego napisu, które są antysymetryczne.

Przykład

Dla danych wejściowych:

8

11001011

poprawnym wynikiem jest:

7

Antysymetryczne fragmenty to: 01 (pojawia się dwukrotnie), 10 (także dwukrotnie), 0101, 1100 oraz 001011.

Rozwiązanie

Analiza problemu

Zastanówmy się, czym tak naprawdę jest napis antysymetryczny. No dobrze, a czym jest napis *symetryczny*? Napis symetryczny spełnia warunek $x = x^R$, czyli jest niczym

innym jak *palindromem* — napisem czytany tak samo normalnie i wspak. Na palindrom parzystej długości (tzw. palindrom parzysty) możemy także spojrzeć jak na napis postaci $u \cdot u^R = uu^R$, czyli sklejenie pierwszej połówki z drugą połówką będącą jej odwróceniem. Palindromy nieparzyste różnią się od parzystych tylko tym, że mają w środku jeszcze jedną, dodatkową cyfrę c , czyli są postaci ucu^R .

Przez analogię, napisy antysymetryczne będziemy nazywali *antypalindromami*. Binarny antypalindrom parzysty również możemy podzielić na połówki, z których druga jest tym razem odwróceniem i negacją (zamiana zer na jedynki i odwrotnie) pierwszej, czyli jest to napis postaci $u\bar{u}^R$. Faktycznie, wynika to wprost z warunku, że i -ta cyfra od początku musi być inna od i -tej cyfry od końca, co dla napisów złożonych wyłącznie z cyfr $\{0, 1\}$ oznacza, że cyfry te są swoimi negacjami. Przykładowo, $11010100 = 1101\overline{1011}$. Z kolei antypalindrom nieparzystej długości $2k + 1$ powinien być postaci $cu\bar{u}^R$ dla pewnej cyfry c . Powinien, ale tak być nie może: z definicji wynika, że $(k + 1)$ -sza cyfra od początku tego napisu, czyli c , powinna być różna od $(k + 1)$ -szej cyfry od końca, czyli także c — a wszakże c od c różne być nie może. To pokazuje, że antypalindromy nieparzystej długości nie istnieją!

Pod słowem napisu (słowa) zerojedynkowego s nazwiemy dowolny jego spójny fragment. Jeżeli $s = s_1s_2 \dots s_n$, to przez $s[i..j]$ oznaczmy pod słowo $s_i s_{i+1} \dots s_j$. Widzimy, że aby rozwiązać zadanie, musimy wyznaczyć liczbę pod słów wyjściowego słowa s będących antypalindromami parzystymi. A jak rozwiązywalibyśmy podobne zadanie, w którym mielibyśmy zliczyć pod słowa będące *palindromami* parzystymi? Bardzo krótka odpowiedź na to pytanie brzmi: obliczamy promienie palindromów parzystych za pomocą algorytmu Manachera i wypisujemy ich sumę, co można wykonać w czasie liniowym względem długości słowa s . W przypadku antypalindromów zrobimy generalnie to samo, tylko użyjemy odpowiednio zmodyfikowanego algorytmu Manachera... Ale po kolei.

Rozwiązanie wzorcowe

O algorytmie Manachera można poczytać przede wszystkim w książce [19], a także na różnych, łatwych do wyszukania stronach internetowych. Pojawił się on także w rozwiązaniu zadania *Osie symetrii* z XIV Olimpiady Informatycznej [14]. W tej sekcji opiszemy ten algorytm zmodyfikowany do wyznaczania antypalindromów parzystych (działający całkiem analogicznie jak oryginalna wersja z palindromami).

Promienie antypalindromów

Dane jest n -literowe słowo zerojedynkowe $s = s_1s_2 \dots s_n$. Powiemy, że parzystej długości słowo v jest pod słowem słowa s o *środku* na pozycji i , jeżeli

$$v = s[i - j + 1..i + j] = s[i - j + 1..i] \cdot s[i + 1..i + j].$$

Jak wygląda zbiór wszystkich antypalindromów parzystych o środku na ustalonej pozycji i ? Zauważmy, że jeżeli $s[i - j + 1..i + j]$ jest takim antypalindromem, to wszystkie inne pod słowa o środku na i -tej pozycji i długości mniejszej niż $2j$ są antypalindromami parzystymi. Wynika to z faktu, że po usunięciu pierwszej i ostatniej

cyfry antypalindrom zmienia się także w antypalindrom, tyle że krótszy (proste uzasadnienie tej obserwacji pozostawiamy Czytelnikowi).

Możemy teraz zdefiniować *promień* antypalindromu na i -tej pozycji słowa (oznaczenie: $R[i]$) jako największe takie $j \geq 0$, że podśłowo $s[i - j + 1..i + j]$ jest antypalindromem, patrz także tabelka na rys. 1. Dzięki wcześniej poczynionej obserwacji opisującej zbiór antypalindromów o środku na danej pozycji wiemy, że tak zdefiniowany promień ma następującą, intuicyjną własność: wszystkie podśłowa o środku na pozycji i i długości nieprzekraczającej $2R[i]$ są antypalindromami, a wszystkie dłuższe — już nie. To oznacza, że mamy łącznie $R[i]$ antypalindromów o środku na danej pozycji i , a zatem poszukiwana liczba wszystkich podśłów słowa s będących antypalindromami jest równa sumie wszystkich promieni antypalindromów, czyli

$$\text{wynik} = R[1] + R[2] + \dots + R[n - 1]. \quad (1)$$

Wniosek z tego prosty: aby rozwiązać zadanie, wystarczy obliczyć promienie antypalindromów na wszystkich pozycjach słowa.

i	1	2	3	4	5	6	7	8	9	10
s_i	0	1	1	0	1	0	1	0	0	0
$R[i]$	1	0	1	2	4	2	1	0	0	

Rys. 1: Promienie antypalindromów na poszczególnych pozycjach słowa 0110101000. Przykładowo, promień na pozycji 5 jest równy 4, ponieważ najdłuższym antypalindromem o środku na pozycji 5 jest 11010100.

Obliczanie promieni antypalindromów

Promienie antypalindromów będziemy obliczać kolejno od lewej do prawej. Załóżmy zatem, że obliczyliśmy już wartości $R[1], R[2], \dots, R[i]$. W tej sekcji zastanowimy się, czy korzystając z nich, możemy efektywnie obliczać promienie na kolejnych pozycjach słowa. W tym celu pracowicie wyprowadzimy pewien techniczny lemat, który stanowi podstawę działania algorytmu Manachera (Czytelników pragnących od razu poznać sam algorytm odsyłamy do kolejnej sekcji).

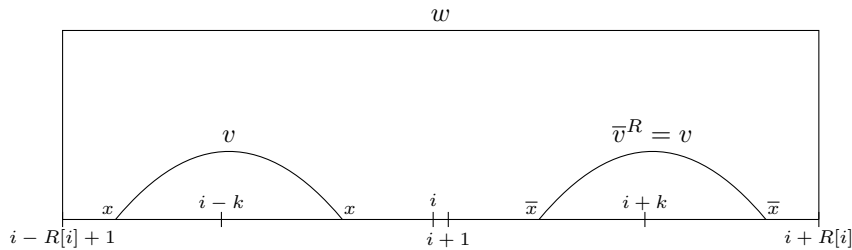
Rozważmy pozycję $i + k$ dla $k < R[i]$, czyli mieszczącą się wewnątrz największego antypalindromu o środku na pozycji i . Okazuje się, że przy obliczaniu $R[i + k]$ możemy skorzystać z wartości $R[i - k]$. Intuicyjnie, dowolny antypalindrom v o środku na pozycji $i - k$, mieszczący się wewnątrz antypalindromu

$$w = s[i - R[i] + 1..i + R[i]],$$

możemy odbić (anty)symetrycznie względem środka antypalindromu w , otrzymując \bar{v}^R , czyli dokładnie antypalindrom v , o środku na pozycji $i + k$.

Spróbujmy sformalizować podaną intuicję — ilustracja poniższego rozumowania znajduje się na rys. 2. Załóżmy na początek, że $R[i - k] < R[i] - k$, czyli że największy antypalindrom

$$v = s[(i - k) - R[i - k] + 1..(i - k) + R[i - k]]$$



Rys. 2: Obliczanie promienia $R[i+k]$ w przypadku $R[i-k] < R[i]-k$. Wówczas $R[i+k] = R[i-k]$. Na tym rysunku wystąpienia antypalindromu v akurat nie nachodzą na siebie, ale równie dobrze mogłyby.

o środku na pozycji $i - k$ mieści się ściśle wewnątrz antypalindromu w , a zatem, w szczególności, v nie dotyka brzegu w . Ze względu na to, iż w jest antypalindromem, mamy, że dla dowolnego $a = 1, 2, \dots, R[i]$:

$$s_{i+a} = \overline{s_{i-a+1}}.$$

Stąd w szczególności:

$$\begin{aligned} s_{i+k+R[i-k]} &= \overline{s_{i-k-R[i-k]+1}}, \\ s_{i+k+R[i-k]-1} &= \overline{s_{i-k-R[i-k]+2}}, \\ &\vdots \\ s_{i+k-R[i-k]+1} &= \overline{s_{i-k+R[i-k]}}, \end{aligned}$$

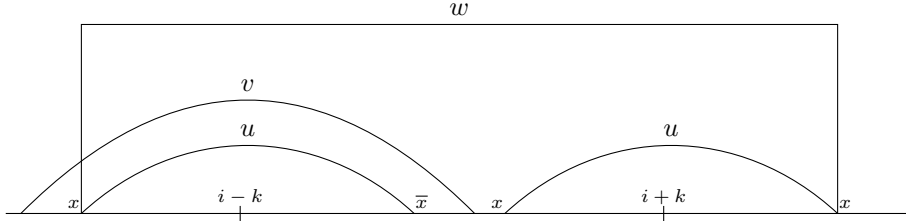
co pokazuje, że

$$s[(i+k) - R[i-k] + 1..(i+k) + R[i-k]] = \overline{v^R} = v.$$

Stąd $R[i+k] \geq R[i-k]$.

Pokażemy, że nie może zachodzić $R[i+k] > R[i-k]$, czyli że w rzeczy samej $R[i+k] = R[i-k]$. W tym celu rozważmy cyfry sąsiadujące z lewej i z prawej z wystąpieniem antypalindromu v o środku na pozycji $i - k$, to znaczy $s_{i-k-R[i-k]}$ oraz $s_{i-k+R[i-k]+1}$. Na mocy definicji $R[i-k]$ wiemy, że te cyfry muszą być takie same (na rys. 2 obie oznaczone są przez x). Zauważmy, że obie te cyfry mieszczą się wewnątrz antypalindromu w . Nie powinno to już stanowić dla Czytelnika niespodzianki, że ich odbicia względem środka antypalindromu w , to znaczy odpowiednio $s_{i+k+R[i-k]+1}$ oraz $s_{i+k-R[i-k]}$, są dokładnie cyframi sąsiadującymi z wystąpieniem antypalindromu v na pozycji $i + k$. Te cyfry są negacjami dwóch wcześniej rozważanych, a zatem także są równe (\bar{x} na rysunku), co pokazuje, że tego wystąpienia antypalindromu v także nie można rozszerzyć. Ostatecznie mamy, że jeśli $R[i-k] < R[i]-k$, to po prostu $R[i+k] = R[i-k]$, co przy wyznaczaniu promieni antypalindromów może być nadzwyczaj pomocne.

Dotychczas poszło nam całkiem nieźle, możemy spróbować przeanalizować kolejne przypadki. Przypadek, w którym $R[i-k] = R[i]-k$ (v stanowi *prefiks*, czyli początkowy fragment, słowa w), zostawimy sobie na deser, wcześniej rozpatrzmy przypadek,



Rys. 3: Obliczanie promienia $R[i+k]$ w przypadku $R[i-k] > R[i]-k$. Wówczas $R[i+k] = R[i]-k$.

w którym $R[i-k] > R[i]-k$, czyli antypalindrom v wystaje poza antypalindrom w — patrz rys. 3. Nie musimy już chyba formalnie dowodzić, że wówczas środkowy fragment u antypalindromu v mieszczący się wewnątrz w , będący antypalindromem o długości $R[i]-k$, możemy odbić antysymetrycznie wewnątrz w , otrzymując antypalindrom o środku na pozycji $i+k$, co oznacza, że $R[i+k] \geq R[i]-k$. Pokażemy, że tę nierówność możemy zamienić w istocie w równość.

W tym celu musimy ponownie przyjrzeć się cyfrom sąsiadującym bezpośrednio z wystąpieniem u na pozycji $i-k$: są to $s_{i-R[i]}$ i jeszcze jedna cyfra s_j mieszcząca się w ramach w (dokładny wzór na indeks j celowo pomijamy). Przypomnijmy, że antypalindrom u możemy rozszerzyć do dłuższego antypalindromu v , co pokazuje, że rozważane cyfry muszą być różne: $s_{i-R[i]} = \overline{s_j}$ (odpowiednio x i \overline{x} na rysunku). A jakie są cyfry sąsiadujące bezpośrednio z wystąpieniem u o środku na pozycji $i+k$? Jedna z nich to na pewno negacja cyfry s_j . Druga to cyfra $s_{i+R[i]+1}$, następująca bezpośrednio za wystąpieniem w w ramach s . Skoro tak, to czy możemy cokolwiek o niej powiedzieć? Okazuje się, że tak: ponieważ antypalindromu w nie można rozszerzyć, więc $s_{i+R[i]+1} = s_{i-R[i]}$. Ostatecznie, cyfry sąsiadujące z wystąpieniem u o środku na pozycji $i+k$ muszą być równe:

$$s_{i+R[i]+1} = s_{i-R[i]} = \overline{s_j},$$

co pokazuje, że antypalindromu u o środku na pozycji $i+k$ nie można już rozszerzyć. Uzasadniliśmy zatem, że jeżeli $R[i-k] > R[i]-k$, to $R[i+k] = R[i]-k$.

Uważny Czytelnik mógł dostrzec w ostatnim rozumowaniu pewną lukę: zastanawiamy się nad cyframi $s_{i-R[i]}$ oraz $s_{i+R[i]+1}$, choć właściwie nie jest nigdzie powiedziane, że te cyfry w ogóle istnieją! Nie jest to jednak większy problem — $s_{i-R[i]}$ na pewno istnieje, gdyż mieści się w v . Jeśli natomiast $s_{i+R[i]+1}$ jest już poza naszym słowem, to tym bardziej nierówność $R[i+k] \geq R[i]-k$ nie może być ostra — wszak antypalindrom musi mieścić się w słowie.

Po tym uzupełnieniu możemy przejść do ostatniego nierozważonego przypadku, w którym $R[i-k] = R[i]-k$ (v jest prefiksem w). Wiemy już, że wówczas antypalindrom v występuje także na pozycji $i+k$, co pokazuje, że $R[i+k] \geq R[i]-k$. Łatwo przekonać się, że tym razem argument dotyczący sąsiadujących cyfr nie zadziała, czyli nie jesteśmy w stanie powiedzieć, czy ta nierówność jest równością, czy też nie. Trudno, pozostajmy z tym, co mamy.

Algorytm Manachera

W wyniku powyższego, całkiem obszernego rozumowania uzyskaliśmy pewne przydatne zależności, które możemy podsumować w skondensowany sposób za pomocą następującego lematu (w naszym rozumowaniu nie rozważaliśmy przypadku $k = R[i]$, lecz łatwo sprawdzić, że wówczas także teza lematu zachodzi).

Lemat 1. Niech $i \in \{1, 2, \dots, n-1\}$ oraz niech $k \in \{1, 2, \dots, R[i]\}$. Wówczas:

- a) jeżeli $R[i-k] \neq R[i] - k$, to $R[i+k] = \min(R[i-k], R[i] - k)$,
- b) a jeżeli $R[i-k] = R[i] - k$, to $R[i+k] \geq R[i-k]$.

Co prawda wyprowadzenie Lematu 1 kosztowało nas trochę wysiłku, jednak na jego podstawie możemy od razu zaproponować algorytm wyznaczania promieni antypalindromów. W algorytmie będziemy próbowali korzystać z części a) Lematu, a jeżeli kiedykolwiek będziemy zmuszeni do użycia części b) lub wyjdziemy poza obręb największego antypalindromu o środku na danej pozycji, to dla tej kłopotliwej pozycji wyznaczymy promień antypalindromu nachalnie (cyferka po cyferce). Po tym znów będziemy próbowali używać Lematu 1, korzystając z promienia obliczonego dla nowej pozycji itd.

W implementacji dodamy na początku i końcu słowa s tzw. strażników: symbole $\$$ i $\#$, niewystępujące poza tym w słowie s , których negacje $\overline{\$}$ oraz $\overline{\#}$ będą jeszcze innymi symbolami. W ten sposób poradzimy sobie z przypadkami brzegowymi — nigdy nie będziemy przedłużać antypalindromów poza słowo.

```

1: Algorytm Manachera
2:  $s[0] := '\$'; s[n+1] := '\#';$ 
3:  $i := 1; j := 0;$ 
4: while  $i \leq n-1$  do begin
5:   while  $s[i-j] = s[i+j+1]$  do  $j := j+1;$ 
6:    $R[i] := j;$ 
7:    $k := 1;$ 
8:   while  $(k \leq R[i])$  and  $(R[i-k] \neq R[i] - k)$  do begin
9:      $R[i+k] := \min(R[i-k], R[i] - k);$ 
10:     $k := k+1;$ 
11:   end
12:    $j := \max(j-k, 0); i := i+k;$ 
13: end
```

Dokładniejsze sprawdzenie, że powyższa implementacja działa zgodnie z wcześniejszym opisem słownym, pozostawiamy Czytelnikowi. Zastanówmy się natomiast, dlaczego ten algorytm jest efektywny czasowo — pokażemy, że wbrew pewnym pozorom, ma on złożoność czasową $O(n)$.

Owe pozory to zagnieżdżenie pętli **while**. Chcemy pokazać, że łącznie pętle te wykonają co najwyżej $O(n)$ obrotów. Standardowe podejście w takim przypadku polega na znalezieniu jednego parametru (potencjalnie pewnej funkcji od zmiennych występujących w algorytmie), który wzrasta w każdym obrocie wewnętrznych pętli

i ma przedział wartości rozmiaru $O(n)$. Tutaj też tak można, ale wygodniej będzie dokonać interpretacji algorytmu, biorąc pod uwagę to, co on tak naprawdę oblicza.

Otóż cały czas utrzymujemy przedział $[i - j + 1..i + j]$ oznaczający (właśnie obliczany bądź już obliczony) największy antypalindrom o środku na aktualnej pozycji i . Pierwsza wewnętrzna pętla **while** (wiersz 5 pseudokodu) przesuwa prawy koniec tego przedziału o jeden, za to środka przedziału (zmienna i) nie rusza. Z kolei druga z rozważanych, wewnętrznych pętli w każdym obrocie przesuwa środek przedziału o jeden w prawo ($i + 1, i + 2, \dots$), nie ruszając prawego końca. To oznacza, że każda z tych pętli z osobna wykonuje co najwyżej n obrotów, gdyż zarówno środek, jak i prawy koniec aktualnego przedziału przyjmują wartości ze zbioru $\{1, 2, \dots, n + 1\}$.

Wszystkich pozostałych operacji jest w algorytmie wykonywanych $O(n)$. To oznacza, że rzeczywiście jego złożoność czasowa jest liniowa względem n .

Podsumowanie

Przypomnijmy: w rozwiązaniu wzorcowym najpierw wyznaczamy promienie antypalindromów parzystych za pomocą zmodyfikowanego algorytmu Manachera, a następnie obliczamy wynik ze wzoru (1). Każdy z tych kroków ma złożoność czasową $O(n)$.

Rozwiązanie wzorcowe zostało zaimplementowane w plikach `ant.cpp`, `ant1.pas` i `ant2.cpp`.

Inne rozwiązania

Rozwiązanie wzorcowe jest bardzo eleganckie i zarazem efektywne, jednakże bez znajomości algorytmu Manachera wydaje się dosyć trudne do wymyślenia. Okazuje się, że istnieje cała gama innych rozwiązań tego zadania, a wśród nich i takie, które pozwalały zdobyć na zawodach maksymalną punktację. Poza najmniej efektywnymi, które pozostawiamy do rozważenia Czytelnikowi — najprostsze rozwiązanie o złożoności czasowej $O(n^3)$ oraz trochę lepsze rozwiązanie o złożoności czasowej i pamięciowej $O(n^2)$, oparte na metodzie programowania dynamicznego (porównaj opis rozwiązania zadania *Palindromy* z II Olimpiady Informatycznej [2]) — wszystkie one były oparte na wyznaczaniu promieni antypalindromów i obliczały wynik ze wzoru (1).

W najprostszym z tych rozwiązań obliczamy żądane promienie antypalindromów, każdorazowo poszerzając podśłowo o środku na danej pozycji i o kolejne cyfry, dopóki jest ono antypalindromem. W ten sposób otrzymujemy rozwiązanie o złożoności czasowej $O(n^2)$ i pamięciowej $O(n)$, którego pseudokod zamieszczamy poniżej. Dodajmy jeszcze, że koszt czasowy tego rozwiązania zależy tak naprawdę od sumy promieni antypalindromów, czyli lepszym oszacowaniem na złożoność czasową jest $O(n + m)$, przy czym m to maksymalny wynik. Niestety, pesymistycznie $m = \Theta(n^2)$, o czym łatwo przekonać się, rozważając słowo 010101...01.

- 1: **Algorytm** $O(n + m)$
- 2: $s[0] := '$'; s[n + 1] := '#';$
- 3: **for** $i := 1$ **to** $n - 1$ **do begin**
- 4: $R[i] := 0;$
- 5: **while** $s_{i-R[i]} = \overline{s_{i+R[i]+1}}$ **do** $R[i] := R[i] + 1;$

6: **end**

Implementację rozwiązania korzystającego z tej metody można znaleźć w pliku `ants3.cpp`. Na zawodach takie rozwiązania uzyskiwały około 50 punktów.

Do wyznaczania promieni $R[i]$ możemy także użyć wyszukiwania binarnego. W tym celu potrzebna nam będzie efektywna funkcja sprawdzająca, czy dane podślowo $s[i..j]$ słowa s jest antypalindromem:

```

1: Algorytm z wyszukiwaniem binarnym
2: for  $i := 1$  to  $n - 1$  do begin
3:    $a := 0$ ;  $b := \min(i, n - i)$ ;
4:   while  $a < b$  do begin
5:      $c := (a + b) \text{ div } 2$ ;
6:     if czy_antypalindrom( $s[i - c + 1..i + c]$ ) then  $a := c$ 
7:     else  $b := c - 1$ ;
8:   end
9:    $R[i] := a$ ;
10: end
```

Na pierwszy rzut oka takie sprawdzenie nie wydaje się proste do wykonania w efektywny sposób, tj. szybciej niż liniowo względem długości podślowa. Okazuje się jednak, że można tak zmodyfikować wyjściowe słowo s , aby sprawdzanie, czy dane podślowo s jest antypalindromem, sprowadzało się do sprawdzenia równości pewnych dwóch podśłów zmodyfikowanego słowa s . Tym zmodyfikowanym słowem będzie $t = s\bar{s}^R$.

Obserwacja 1. Podślowo $s[i..j]$ jest antypalindromem wtedy i tylko wtedy, gdy

$$t[i..j] = t[(2n + 1 - j)..(2n + 1 - i)].$$

Dowód: Oznaczmy $w = s[i..j]$. Wystarczy zauważyć, że:

$$t[i..j] = w, \quad t[(2n + 1 - j)..(2n + 1 - i)] = \bar{w}^R.$$

Kto nie wierzy, niech sprawdzi (co najmniej na przykładzie). ■

Sprowadziliśmy zatem wyjściowy problem do problemu sprawdzania równości zadanych podśłów słowa t . A na to jest już wiele gotowych algorytmów.

Jednym z nich jest *słownik podśłów bazowych*, który przypisuje całkowite dodatnie identyfikatory podśłowom słowa t o długościach będących potęgami dwójki, co następnie pozwala wyznaczać jednoznaczne identyfikatory dowolnych podśłów t . Więcej o tej metodzie można przeczytać w książce [19] (algorytm Karpa-Millera-Rosenberga, KMR) lub w opisie rozwiązania zadania *Powtórzenia* z VII Olimpiady Informatycznej [7]. Złożoność czasowa wstępnych obliczeń to w tej metodzie $O(n \log^2 n)$ lub $O(n \log n)$, w zależności od jakości implementacji, przy złożoności pamięciowej rzędu $O(n \log n)$. Po tych obliczeniach sprawdzanie równości podśłów jest już wykonywane w czasie stałym.

Rozwiązania używające tej metody mają łączną złożoność czasową $O(n \log^2 n)$ lub $O(n \log n)$, a pamięciową $O(n \log n)$. Różne implementacje można znaleźć w plikach

`ant[s4-s7].cpp|pas`. Ich głównym mankamentem jest duża złożoność pamięciowa (jak na limit pamięciowy 32 MB), przez co zdobywały na zawodach około 50 punktów.

Lubiący odrobinę ryzyka mogą do sprawdzania równości podśłów słowa t użyć metody *haszowania*. W tej metodzie cyfry występujące w danym podślowie traktujemy jako kolejne współczynniki wielomianu i przydzielamy temu podślowi identyfikator będący wartością tego wielomianu w jakimś punkcie całkowitym, $x = q$, wziętą modulo pewna liczba całkowita dodatnia (pierwsza) p . Niestety, tak przydzielone identyfikatory nie muszą być różne dla różnych podśłów (w przypadku zajścia takiej równości mówimy o tzw. *kolizji*). Dobierając odpowiednio dużą wartość p i losując wartość q , możemy jednak mieć nadzieję, że dla żadnych podśłów, które musimy akurat porównać, nie napotkamy na kolizję. I rzeczywiście, prawdopodobieństwo kolizji jest małe, ale mimo wszystko nie da się jej wykluczyć.

Więcej o tej metodzie można przeczytać chociażby w książkach [19] i [21] (algorytm Karpa-Rabina, KR), a także — w praktycznym ujęciu — w artykule *Drobne oszustwo* w numerze 11/2009 czasopisma *Delta*¹. Można ją zaimplementować bardzo efektywnie: złożoność czasowa i pamięciowa wstępnych obliczeń jest rzędu $O(n)$, a na zapytania o równość podśłów możemy odpowiadać w czasie stałym.

Rozwiązania używające tej metody mają — ze względu na wyszukiwanie binarne — złożoność czasową $O(n \log n)$, jednak złożoność pamięciowa $O(n)$ jest lepsza niż w przypadku słownika podśłów bazowych. Różne implementacje (przykłady: `antb1.cpp`, `antb2.cpp`) uzyskiwały na zawodach punktację zbliżoną do maksymalnej bądź maksymalną, w zależności od szczęścia — a, jak mówi znane przysłowie, szczęście sprzyja lepszym, czyli w tym przypadku tym, którzy rozsądnie dobierają parametry używane w haszowaniu.

Rozwiązania błędne

Wśród rozwiązań błędnych możemy wyróżnić głównie niepoprawne implementacje opisanych powyżej rozwiązań. Przede wszystkim należało zwrócić uwagę na to, że wynik mógł nie mieścić się w typie całkowitym 32-bitowym, ale wymagać użycia zmiennych 64-bitowych — rozwiązanie podobne do wzorcowego, lecz nieuwzględniające tego faktu, uzyskiwało na zawodach około 70 punktów.

Testy

Do oceny rozwiązań tego zadania użyto 14 grup testów. Poniżej zamieszczona jest tabela zawierająca podstawowe statystyki poszczególnych testów (n to długość wyjściowego słowa, a m to wynik, czyli liczba podśłów słowa będących antypalindromami).

Nazwa	n	m
<code>ant1a.in</code>	1	0
<code>ant1b.in</code>	1	0
<code>ant1c.in</code>	2	1
<code>ant1d.in</code>	10	11

Nazwa	n	m
<code>ant1e.in</code>	2	0
<code>ant2a.in</code>	45	0
<code>ant2b.in</code>	50	8
<code>ant2c.in</code>	50	50

¹Artykuł dostępny także na stronie internetowej czasopisma: <http://www.mimuw.edu.pl/delta/>

Nazwa	n	m
<i>ant2d.in</i>	100	146
<i>ant3a.in</i>	61	900
<i>ant3b.in</i>	422	657
<i>ant3c.in</i>	600	832
<i>ant3d.in</i>	800	152 122
<i>ant4a.in</i>	1 002	1 555
<i>ant4b.in</i>	1 030	995
<i>ant4c.in</i>	1 198	4 303
<i>ant4d.in</i>	1 601	361 141
<i>ant5a.in</i>	6 656	235 444
<i>ant5b.in</i>	6 231	247 829
<i>ant5c.in</i>	7 053	3 177 100
<i>ant5d.in</i>	7 668	13 319
<i>ant6a.in</i>	20 480	2 755 601
<i>ant6b.in</i>	18 334	1 073 433
<i>ant6c.in</i>	20 000	100 000 000
<i>ant6d.in</i>	38 100	39 782
<i>ant7a.in</i>	37 008	17 179 122
<i>ant7b.in</i>	100 000	149 818
<i>ant7c.in</i>	106 822	53 411
<i>ant7d.in</i>	499 993	0
<i>ant8a.in</i>	158 304	2 088 399 136
<i>ant8b.in</i>	200 000	687 393
<i>ant8c.in</i>	200 000	940 530
<i>ant8d.in</i>	221 260	332 150

Nazwa	n	m
<i>ant9a.in</i>	400 004	602 414
<i>ant9b.in</i>	407 701	1 783 070 527
<i>ant9c.in</i>	409 600	839 278 590
<i>ant9d.in</i>	400 000	597 956
<i>ant10a.in</i>	500 000	750 062
<i>ant10b.in</i>	500 000	499 417
<i>ant10c.in</i>	500 000	2 084 116 658
<i>ant10d.in</i>	500 000	1 746 350
<i>ant11a.in</i>	500 000	499 915
<i>ant11b.in</i>	500 000	5 208 749 996
<i>ant11c.in</i>	500 000	752 483
<i>ant11d.in</i>	500 000	600 178
<i>ant12a.in</i>	500 000	8 929 285 709
<i>ant12b.in</i>	500 000	10 416 916 665
<i>ant12c.in</i>	500 000	15 625 125 000
<i>ant12d.in</i>	500 000	52 900 520 440
<i>ant13a.in</i>	500 000	20 000 251 084
<i>ant13b.in</i>	500 000	746 684
<i>ant13c.in</i>	500 000	32 034 926 466
<i>ant13d.in</i>	500 000	1 606 456
<i>ant14a.in</i>	499 998	20 833 333 333
<i>ant14b.in</i>	491 520	304 094 082
<i>ant14c.in</i>	500 000	500 006
<i>ant14d.in</i>	500 000	62 500 000 000